

# АНАЛИТИЧЕСКИЙ РАСЧЕТ МАГНИТНОГО ПОЛЯ В ЗАЗОРЕ С ПАРАБОЛИЧЕСКИМ СКОСОМ (БЕЗ УЧЕТА ВЛИЯНИЯ КРАЯ ПОЛЮСОВ)

Бершадский И.А.

Донецкий национальный технический университет

ilya@elf.dgtu.donetsk.ua

*In paper the analytical computational method of a magnetic force on height of a clearance with a parabolical angularity is reduced depending on parameters of a magnet system. A magnetic force on a vertical axes separately is computed*

Электромагниты, имеющие сложную форму воздушного зазора, широко применяются в устройствах для магнитного ориентирования и отделения деталей, магнитной и феррогидростатической сепарации, радиочастотной сварки и т.д. Следует также отметить группу гидродинамических электрических аппаратов, область применения которых являются сетевые указатели поврежденных участков распределительных сетей [1, 2]. В них движение внутренних ферромагнитных смесителей и красящих пигментов происходит под воздействием градиентного магнитного поля и в значительной степени связано с законом изменения пондеромоторной силы в межполюсном пространстве, который определяется профилем полюсных наконечников (ПН).

Эффективность работы таких магнитных систем может быть повышена путем выбора уравнения кривых, по которым рассчитываются профили ПН с качественно различными законами изменения пондеромоторной силы в зависимости от радиус-вектора в полярных координатах. При этом очень ценными являются аналитические выражения магнитной силы, позволяющие с достаточным для практики приближением сравнить различные формы воздушных зазоров.

Наиболее часто [3, 4] форма двух полюсных наконечников описывается двумя эквипотенциальными поверхностями, на которых магнитный потенциал  $U = \text{const}$ . Такое допущение можно считать правомерным при выполнении условия квазистационарности, отсутствии насыщения и исследовании поля в диэлектрической среде.

Если тело, помещенное в неоднородное магнитное поле мало и незначительно его искажает, то магнитная сила, действующая на это тело, определяется из выражения:

$$F_z = \mu_0 \kappa_T V_\phi H \text{grad} H,$$

где  $\kappa_T$  – магнитная восприимчивость тела (частицы),

$V_\phi$  – его объем,  $\kappa_T V_\phi = \chi$ ,

$H$  – напряженность магнитного поля в частице,

$\mu_0$  – магнитная постоянная.

Цель настоящей работы – вывод формул напряженности и магнитной силы в зазоре, образованном скошенными полюсами с параболическим скосом и сравнение полученных результатов с зазором, образованным полюсами с прямоугольным скосом (работа М.С.Захаровой [3]).

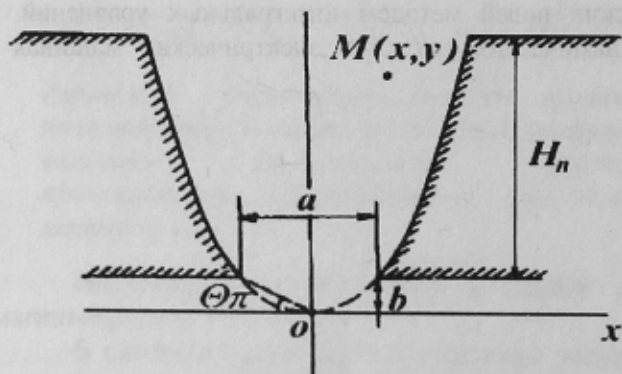


Рисунок 1 – Параболические полюсные наконечники

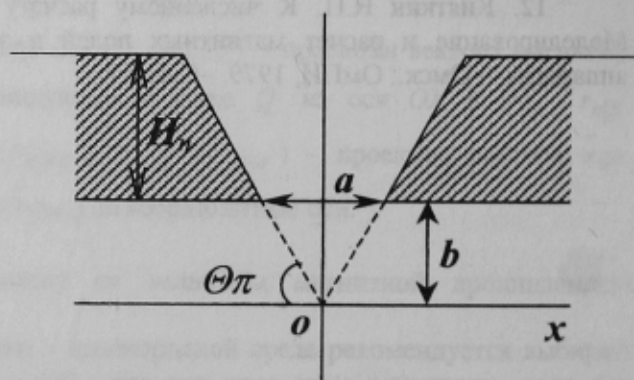


Рисунок 2 – Полюсные наконечники с прямоугольным скосом

Уравнение параболы  
 $y = kx^2$ .

(1)

Определим коэффициент  $k$ . Так как парабола проходит через точку  $\left(\frac{a}{2}, e\right)$  (рис. 1).

$$e = k \left(\frac{a^2}{4}\right); \quad k = \frac{4e}{a^2}.$$

$$\text{Так как } \frac{2e}{a} = \operatorname{tg}(\theta\pi), \text{ то } k = \frac{2\operatorname{tg}(\theta\pi)}{a}.$$

Отразим конформно внутренность параболы, лежащей в плоскости  $z$ , т.е. часть плоскости, содержащую фокус параболы, на полосу в плоскости  $W=u+iv$ , параллельную действительной оси:

$$\{W: 0 \leq u \leq M_\delta\},$$

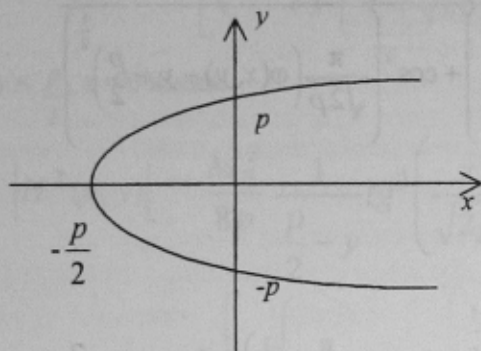
где  $M_\delta$  - магнитодвижущая сила (разность потенциалов), приходится на зазор с параболическими скосами.

Для решения этой задачи, воспользуемся результатами [5] об отображении областей, ограниченных кривыми второго порядка.

Функция  $w = i\sqrt{2}ch\left(\pi\sqrt{\frac{z}{2p}}\right)$  переводит внутренность параболы вида (рис. 3)

$$y^2 = 2p\left(x + \frac{p}{2}\right) \quad (2)$$

на верхнюю полуплоскость.



Преобразование  $z \rightarrow -iz - \frac{p}{2}$ ,

где  $p = \frac{1}{2k} = \frac{a}{4\operatorname{tg}(\theta\pi)}$  переводит параболу (1) в параболу

(2).

$$y^2 = \frac{a}{2\operatorname{tg}(\theta\pi)}\left(x + \frac{a}{8\operatorname{tg}(\theta\pi)}\right).$$

Следовательно, отображение, переводящее внутренность параболы (1) на верхнюю полуплоскость, имеет вид

$$w = i\sqrt{2}ch\left(\pi\sqrt{\frac{-iz - p/2}{2p}}\right) \quad (3)$$

Рисунок 3 – К расчету конформного отображения параболы

Затем находится отображение верхней полуплоскости на полосу шириной  $M_\delta$

$$W = \frac{M_\delta}{\pi} \ln w \quad (3')$$

Окончательно получим

$$W = \frac{M_\delta}{\pi} \ln\left(i\sqrt{2}ch\left(\pi\sqrt{\frac{-iz - p/2}{2p}}\right)\right) \quad (4)$$

Для определения модуля напряжённости магнитного поля воспользуемся формулой [3]:

$$|H| = \left|\frac{\partial W}{\partial z}\right|.$$

Дифференцируя (4) по  $z$  находим

$$\frac{\partial W}{\partial z} = \frac{M_\delta}{\pi} \frac{\operatorname{Sh}\left(\frac{\pi}{\sqrt{2p}}\sqrt{-iz - \frac{p}{2}}\right)}{\operatorname{ch}\left(\frac{\pi}{\sqrt{2p}}\sqrt{-iz - \frac{p}{2}}\right)} \left(\frac{\pi}{\sqrt{2p}}\sqrt{-iz - \frac{p}{2}}\right)' = -\frac{i M_\delta}{2\sqrt{2p}} \frac{1}{\sqrt{-iz - \frac{p}{2}}} \operatorname{th}\left(\frac{\pi}{\sqrt{2p}}\sqrt{-iz - \frac{p}{2}}\right).$$

$$|H| = \frac{M_\delta}{2\sqrt{2p}} \frac{1}{\left| \sqrt{-iz - \frac{p}{2}} \right|} \left| \operatorname{th} \left( \frac{\pi}{\sqrt{2p}} \sqrt{-iz - \frac{p}{2}} \right) \right| \quad (5)$$

Найдём явную зависимость напряжённости магнитного поля в точке  $M(x, y)$  от значения декартовых координат этой точки (см. рис. 1). Так как

$$-iz - \frac{p}{2} = \left(y - \frac{p}{2}\right) - ix, \quad \text{а} \quad \left| -iz - \frac{p}{2} \right| = \sqrt{\left(y - \frac{p}{2}\right)^2 + x^2}, \quad \text{то}$$

$$\frac{1}{\left| \sqrt{-iz - \frac{p}{2}} \right|} = \frac{1}{\sqrt{\left(y - \frac{p}{2}\right)^2 + x^2}} = \left( \left(y - \frac{p}{2}\right)^2 + x^2 \right)^{-\frac{1}{4}}. \quad (6)$$

Разложив выражение для модуля гиперболического тангенса и обозначив

$$\varphi(x, y) := \left| -iz - \frac{p}{2} \right| = \sqrt{\left(y - \frac{p}{2}\right)^2 + x^2},$$

получим искомую формулу:

$$|H(x, y)| = \frac{M_\delta}{2\sqrt{2p}} (\varphi(x, y))^{-\frac{1}{2}} \sqrt{\frac{\operatorname{Sh}^2 \left( \frac{\pi}{\sqrt{2p}} \left( \varphi(x, y) + y - \frac{p}{2} \right)^{\frac{1}{2}} \right) + \sin^2 \left( \frac{\pi}{\sqrt{2p}} \left( \varphi(x, y) - y + \frac{p}{2} \right)^{\frac{1}{2}} \right)}{\operatorname{Sh}^2 \left( \frac{\pi}{\sqrt{2p}} \left( \varphi(x, y) + y - \frac{p}{2} \right)^{\frac{1}{2}} \right) + \cos^2 \left( \frac{\pi}{\sqrt{2p}} \left( \varphi(x, y) - y + \frac{p}{2} \right)^{\frac{1}{2}} \right)}}. \quad (7)$$

Магнитную силу находим из известных соотношений

$$F_x = \frac{\chi\mu_0}{2} \frac{\partial |H|^2}{\partial x}; \quad F_y = \frac{\chi\mu_0}{2} \frac{\partial |H|^2}{\partial y}.$$

Положим для удобства вычислений

$$g(x, y) := \operatorname{Sh}^2 \left( \frac{\pi}{\sqrt{2p}} \left( \varphi(x, y) + y - \frac{p}{2} \right)^{\frac{1}{2}} \right) + \sin^2 \left( \frac{\pi}{\sqrt{2p}} \left( \varphi(x, y) - y + \frac{p}{2} \right)^{\frac{1}{2}} \right),$$

$$f(x, y) := \operatorname{Sh}^2 \left( \frac{\pi}{\sqrt{2p}} \left( \varphi(x, y) + y - \frac{p}{2} \right)^{\frac{1}{2}} \right) + \cos^2 \left( \frac{\pi}{\sqrt{2p}} \left( \varphi(x, y) - y + \frac{p}{2} \right)^{\frac{1}{2}} \right).$$

Тогда, после ряда преобразований:

$$F_x = \frac{\chi\mu_0}{2} \frac{M_\delta^2}{8p} \left( -\frac{\frac{\partial \varphi}{\partial x} g(x, y)}{\varphi^2(x, y) f(x, y)} + \frac{1}{\varphi(x, y)} \frac{\frac{\partial g}{\partial x} f(x, y) - \frac{\partial f}{\partial x} g(x, y)}{f^2(x, y)} \right) \quad (8)$$

$$F_y = \frac{\chi\mu_0}{2} \frac{M_\delta^2}{8p} \left( -\frac{\frac{\partial \varphi}{\partial y} g(x, y)}{\varphi^2(x, y) f(x, y)} + \frac{1}{\varphi(x, y)} \frac{\frac{\partial g}{\partial y} f(x, y) - g(x, y) \frac{\partial f}{\partial y}}{f^2(x, y)} \right) \quad (9)$$

Отдельно вычислим магнитную силу на оси  $Oy$ . На оси  $Oy$

$$F_x = 0$$

Осталось найти  $F_y$ .



Заметим, что при  $x=0$

$$\varphi(x, y) = \begin{cases} y - \frac{p}{2} & \text{при } y > \frac{p}{2} \\ 0 & \text{при } y = \frac{p}{2} \\ \frac{p}{2} - y & \text{при } y < \frac{p}{2} \end{cases} \quad \text{и, соответственно} \quad \frac{\partial \varphi(0, y)}{\partial y} = \begin{cases} 1 & \text{при } y > p/2 \\ -1 & \text{при } y < p/2 \end{cases}$$

Рассмотрим случай  $y > \frac{p}{2}, x = 0$ .

В этом случае

$$|H^2(o, y)| = \frac{M_\delta^2}{8p} \frac{1}{y - \frac{p}{2}} \frac{\operatorname{sh}^2\left(\frac{\pi}{\sqrt{2p}}(2y - p)^{\frac{1}{2}}\right)}{\operatorname{sh}^2\left(\frac{\pi}{\sqrt{2p}}(2y - p)^{\frac{1}{2}}\right) + 1};$$

$$F_y = \frac{\chi \mu_0}{2} \frac{M_\delta^2}{8p} \left[ \frac{-\operatorname{sh}^2\left(\frac{\pi}{\sqrt{2p}}(2y - p)^{\frac{1}{2}}\right)}{\left(y - \frac{p}{2}\right)^2 \left[\operatorname{sh}^2\left(\frac{\pi}{\sqrt{2p}}(2y - p)^{\frac{1}{2}}\right) + 1\right]} + \frac{1}{y - \frac{p}{2}} \frac{\operatorname{sh}\left(\frac{\sqrt{2}\pi}{\sqrt{p}}(2y - p)^{\frac{1}{2}}\right) \frac{\pi}{\sqrt{2p}} \frac{1}{(2y - p)^{\frac{1}{2}}}}{\left[\operatorname{sh}^2\left(\frac{\pi}{\sqrt{2p}}(2y - p)^{\frac{1}{2}}\right) + 1\right]^2} \right]$$

При  $y < \frac{p}{2}, x = 0$  имеем

$$|H^2(o, y)| = \frac{M_\delta^2}{8p} \frac{1}{\frac{p}{2} - y} \operatorname{tg}^2\left(\frac{\pi}{\sqrt{2p}}(p - 2y)^{\frac{1}{2}}\right),$$

$$F_y = \frac{\chi \mu_0}{2} \frac{M_\delta^2}{8p} \left[ \frac{\operatorname{tg}^2\left(\frac{\pi}{\sqrt{2p}}(p - 2y)^{\frac{1}{2}}\right)}{\left(\frac{p}{2} - y\right)^2} + \frac{2 \operatorname{tg}\left(\frac{\pi}{\sqrt{2p}}(p - 2y)^{\frac{1}{2}}\right)}{\left(\frac{p}{2} - y\right) \cos^2\left(\frac{\pi}{\sqrt{2p}}(p - 2y)\right) \frac{1}{\sqrt{2p}} \frac{(-1)}{(p - 2y)^{\frac{1}{2}}}} \right]$$

В работе [2] уже была экспериментально доказана эффективность работы магнитной системы с такими ПН по критерию максимизации электромагнитной энергии в рабочей области. Приведенные здесь выкладки имеют, на наш взгляд, теоретическую ценность, так как позволяют верифицировать результаты оптимизации магнитных систем.

#### ЛИТЕРАТУРА

1. Труб И.И. Гидравлический указатель короткого замыкания // Энергетик. – 1998. – №12. – С.12.
2. Бершадский И.А. Синтез конфигурации профиля полюсных наконечников в электромагните с градиентным распределением вертикальных усилий // Сб. науч. тр. ДонГУ. Серия: Электротехника и энергетика. – Донецк. – 1999. – Вып. 4. – С.195-199.
3. Захарова М.С. Расчет магнитного поля в зазоре, образованном скошенными полюсами // В сб.: "Горная электромеханика и автоматика". – Вып. 16. Харьков. – Изд. ХГУ. – 1970. – С. 54-60.
4. Берлинский А.П., Шлепакова Л.И. и др. МГС сепарация минералов // Обзор. Лабораторные и технологические исследования и методы обогащения минерального сырья. – М.: ВИЭМС. – 1975. – 53 с.
5. Лаврентьев М.А., Шабат Б.В. Методы теории функций комплексного переменного. – М.: Наука, 1965. – 352 с.
6. Евграфов М.А. и др. Сборник задач по теории аналитических функций. М.: Наука, 1972. – 279 с.